

# 캐올리나이트/물 임계면에서의 구리흡착 연구

## Copper Adsorption on Kaolinite/Water Interface

장세정, 김수진

서울대학교 자연과학대학 지질과학과 (saejung@snu.ac.kr)

### 1. 서 론

캐올리나이트는 Si사면체판과 Al팔면체판이 1:1로 구성된 점토광물이다 (Bailey, 1980). 지금까지 캐올리나이트에 의한 중금속 흡착 연구는 계산상 편리하다는 이유로 모든 반응자리( $\equiv\text{SOH}$ )가 일정하다는 가정 하에 수행되었다(Manning and Goldberg, 1996). 그러나 캐올리나이트는 구조적으로 크게 Si반응자리( $\equiv\text{SiOH}$ )와 Al반응자리( $\equiv\text{AlOH}$ )로 나눌 수 있으며 이들 반응자리가 pH에 따라 다르게 흡착반응에 참여한다는 연구가 최근에 수행되었다 (He et al., 1997). 그러나 이러한 연구도 캐올리나이트의 고유 성질을 고려한 것이 아니라 Si반응자리( $\equiv\text{SiOH}$ )는 석영( $\text{SiO}_2$ )의 성질을, Al반응자리( $\equiv\text{AlOH}$ )는 알루미늄산화물이나 수산화물의 성질을 인용하여 설명하였다.

본 연구에서는 산-염기 적정실험과 구리흡착실험결과를 전기적 일정용량 모델(constant capacitance model)(Stumm et al., 1980)을 사용하여 캐올리나이트 고유의 Si반응자리와 Al반응자리의 산-염기적 성질을 살펴보고, 각 반응자리가 어떻게 구리(Cu) 흡착에 참여하는지 알아보자 한다.

### 2. 실험방법 및 모델링

본 실험에 사용된 시료는 미국의 Georgia산 캐올리나이트이다. X-ray 회절분석 결과 결정도가 높은(Hinckley index=0.968) 전형적인 캐올리나이트로 확인되었다. SEM 관찰 결과 직경이 0.2-2 $\mu\text{m}$ 이며, BET- $\text{N}_2$ 흡착에 의한 비표면적은 7.99 $\text{m}^2/\text{g}$ 이다.

캐올리나이트 표면의 각 반응자리의 산-염기적 성질을 알아보기 위해 아르곤 가스 환경에서 산-염기 적정실험을 실시하였다. 배경용액으로는 0.01M NaCl을 사용하였으며, 광물-용액비는 0.2g/49.3ml이었다. 평형상태를 유지하기 위해 24시간 동안 배경용액에서 반응시킨 후, HCl로 pH를 4로 내린 다음 NaOH로 10까지 올리면서 pH를 측정하였다. 캐올리나이트의 표면 용해를 최소화하기 위해 pH 범위를 4-10을 넘지 않게 하였다.

pH를 변수로 한 구리흡착 뱃치실험은 캐올리나이트를 8.8mM NaCl, 0.05mM CuCl<sub>2</sub>용액에 광물-용액비를 0.1g/35ml로 넣고 24시간동안 반응시켰다. pH범위는 4-10으로 하였으며 HCl과 NaOH로 조절하였다. 흡착된 구리의 양은 0.1 $\mu\text{g}$  주사기용 필터로 고체와 액체를 분리한 후 ICP-AES로 분석하였다.

위 두 실험으로부터 나온 결과를 전기적 일정용량 모델(constant capacitance model)을 가정한 FITEQL3.2(Herbelin and Westall, 1996)을 이용하여 캐올리나이트 Al 반응자리의  $pK_{a1}$  과  $pK_{a2}$  값, Si반응자리의  $pK_{a2}$ 값을 구하였다. 또한 이 평형상수값들을 이용하여 각 반응자리에 대한 구리종( $\text{Cu}^{2+}$ ,  $\text{CuOH}^+$ )들의 흡착평형상수값들을 구하였다. Si반응자리에서  $pK_{a2}$ 값만 구한 이유는 Si사면체판과 유사한 구조를 가진 석영의  $\text{pH}_{\text{pzc}}$ 가 2.9(Sposito, 1984)이므로 본 실험의 pH영역(4-10)에서는 대부분  $\equiv\text{SiO}^-$  형태로 존재하기 때문이다.

### 3. 결과 및 토의

산-염기 적정실험결과와 전기적 일정용량 모델을 이용하여 캐올리나이트 표면의 Al반응자리( $\equiv\text{AlOH}_2^+$ ,  $\equiv\text{AlOH}$ ,  $\equiv\text{AlO}^-$ )와 Si반응자리( $\equiv\text{SiOH}$ ,  $\equiv\text{SiO}^-$ )를 pH함수로서 모델링한 결과는 Fig. 1과 Fig. 2와 같다. 모델링 결과 캐올리나이트 표면의 산-염기적 성질은 산-염기 적정실험결과와 모든 pH조건에서 잘 일치한다(Fig. 1).

모델링 결과 캐올리나이트의 Al반응자리의 평형상수 값은  $pK_{a1}(4.564)$ ,  $pK_{a2}(8.461)$ 로 구해졌으며 이 값은 순수한 알루미늄산화물의 평형상수값( $pK_{a1}=5.7$ ,  $pK_{a2}=11.4$ ; Davis and Leckie, 1978)에 비하여 산성의 성질을 나타낸다. Si반응자리의 평형상수 값은  $pK_{a2}(4.436)$ 로 구해졌으며 이 값도 또한 순수한 석영의 평형상수값( $pK_{a2}=6.25$ ; Riese, 1982)에 비하여 산성의 성질을 나타낸다. 이 결과로부터 간단한 산화물의 평형상수값들을 인용한 연구(He et al., 1997; Jeong, 1998)들이 캐올리나이트의 표면 특징을 정확히 설명하기 위해서는 한계가 있음을 알 수 있다.

모델링 결과 구해진 평형상수값으로부터 pH에 따른 캐올리나이트 반응자리들의 농도는 Fig. 2와 같다. 음전하를 가져 중금속 흡착에 영향을 미치는 캐올리나이트의 반응자리를 살펴보면, pH4.5를 기점으로 알칼리 영역에  $\equiv\text{SiO}^-$ 반응자리가 우세하게 존재하며, pH7에서부터  $\equiv\text{AlO}^-$ 반응자리가 생기기 시작한다.

캐올리나이트의 구리흡착은 pH4.5에서 시작하여 pH7정도가 되면 100% 가까이 흡착된다(Fig. 3). 구리흡착 뱃지실험결과와 전기적 일정용량 모델(CCM)을 이용하여 캐올리나이트/물 계면에서 구리이온들( $\text{Cu}^{2+}$ ,  $\text{CuOH}^+$ )의 흡착을 pH함수로서 모델링한 결과는 잘 일치한다. 모델링 결과 캐올리나이트 반응자리에 따른 구리흡착에 대한 평형상수값들은  $pK_{\text{SiOCu}}=2.738$ ,  $pK_{\text{SiOCuOH}}=6.907$ ,  $pK_{\text{AlOCu}}=2.496$ ,  $pK_{\text{AlOCuOH}}=8.278$ 로 계산되어진다. 캐올리나이트 표면에서 구리흡착에 참여하는 반응자리는 pH5-6.5 범위에서는 Si자리가, pH6.5 이상에서는 Al자리가 주로 참여하는 것을 알 수 있다.

### 4. 참고문헌

- Bailey, S. W. (1980) Structures of layer silicates, in Crystal Structures of Clay Minerals and Their X-ray Identification, G. W. Brindley and G. Brown (eds.), p1-124. Mineralogical Society Monograph No. 5, Mineralogical Society, London.

- Davis, J. A. and Leckie, J. O. (1978) Surface ionization and complexation at the oxide/water interface, II. Surface properties of amorphous iron oxyhydroxide and metal ions. *J. Colloid Interface Sci.*, 67, 90-107.
- He, L. M., Zelazny, L. W., Baligar, V. C., Ritchey, K. D., and Martens, D. C. (1997) Ionic strength effects on sulfate and phosphate adsorption on  $\gamma$ -alumina and kaolinite: triple-layer model. *Soil Sci. Soc. Am. J.*, 61, 784-793.
- Herbelin, A. L. and Westall, J. C. (1996) FITEQL - A computer program for determination of chemical equilibrium constants from experimental data. Report 96-01, Department of chemistry, Oregon State University, Corvallis, OR 97311.
- Jeong, C. H., Park, S. W., and Kim, S. J. (1998) Triple-layer surface complexation modeling on the adsorption of Cs-137 and Sr-90 onto kaolinite: Effect of groundwater ions and pH. *J. Miner. Soc. Korea*, 11, 106-116.
- Manning, B. A. and Goldberg, S. (1996) Modeling arsenate competitive adsorption on kaolinite, montmorillonite and illite. *Clays Clay Minerals*, 44, 609-623.
- Riese, A. C. (1982) Adsorption of radium and thorium onto quartz and kaolinite, a comparison of solution/surface equilibria models. in Ph. D. thesis, Colorado School of Mines, Golden, Colorado.
- Sposito, G. (1984) *The Surface Chemistry of Soils*, Oxford Univ. Press, New York.
- Stumm, W., Kummert, R., and Sigg, L. (1980) A ligand exchange model for the adsorption of inorganic and organic ligands at hydrous oxides interfaces. *Croat. Chem. Acta*, 53, 291-312.

Fig. 1. The proton surface charge density ( $\sigma_H$ ) of kaolinite as a function of pH. Dots : Experimental data, Line : Modeling data.  
 $\sigma_H = (F/SA)(TOTH - [H^+] + [OH^-])$   
 $[C/m^2]$   
 $(F : \text{Faraday's constant}, S : \text{Kaolinite concentration}, A : \text{Specific surface area of kaolinite}, TOTH : Concentration of the total protons added to the system)$

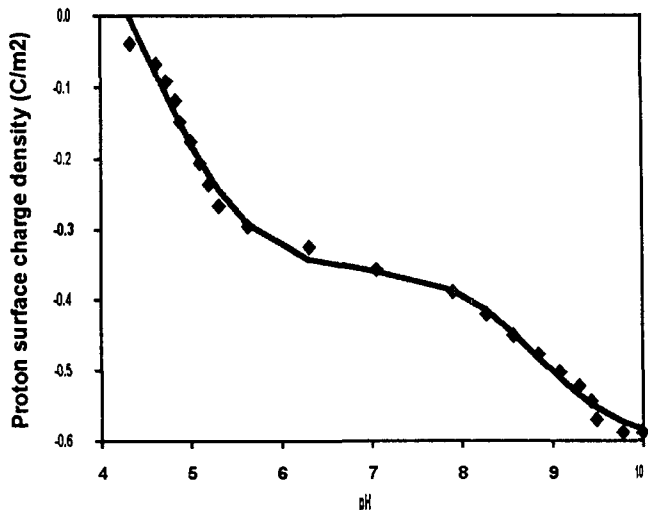


Fig. 2. Surface speciation of kaolinite as a function of pH. Solid lines : Al sites, Dashed lines : Si sites.

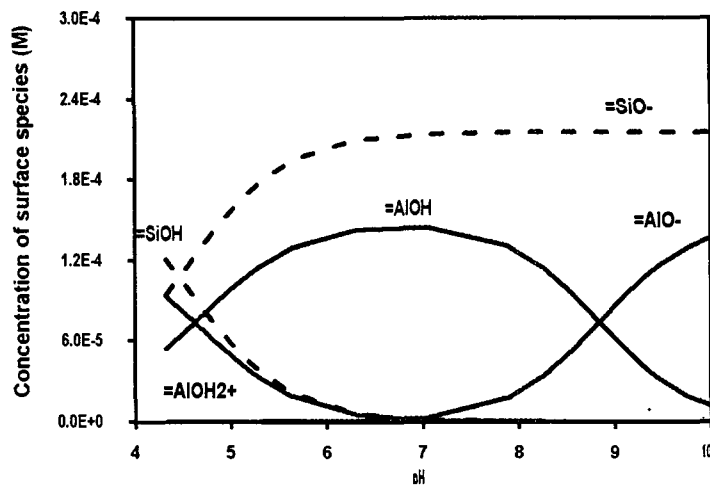


Fig. 3. Adsorbed copper species on aqueous kaolinite surface. Points : Experimental data, Thick line : Modeling data, Thin solid lines : Adsorbed copper species on Al site, Thin dashed lines : Adsorbed copper species on Si site.

